

جامعة سليمان نوبل



منشورات جامعية البعث
كلية الهندسة الكيميائية والبتروكيماوية

هيدروليک المواقع الجوفية

تأليف

الدكتور المهندس

الدكتور المهندس

جورج عبد الله عبد الأسد

عماد سليمان نوبل

مديرية الكتب والمطبوعات الجامعية

١٩٩٤ - ١٩٩٥

مقدمة

يعتبر الميكانيك جزءاً من الفيزياء وأساساً لتقديم الصناعة ، كما هو في صناعة النفط والغاز ، وتعتبر عمليات الصناعة النفطية والغازية ، ابتداء من حفر البئر وانتهاءً بنقل النفط المستخرج بالأنابيب ، عمليات ميكانيكية بطبيعتها ، وتحتل عمليات استثمار المكامن النفطية ، مكاناً أساسياً ضمن هذه العمليات .

يتسع في الوقت الحاضر مجال استخراج النفط والغاز ، حيث تدخل في الاستثمار مكامن ذات ظروف جيولوجية وفيزيائية معقدة ، وتظهر الحاجة إلى حل مسائل هامة متعلقة بزيادة درجة استخراج النفط من الطبقة ، لذلك لا بد من فهم كيفية حركة السوائل (النفط والماء) والغازات ضمن الطبقات المشبعة بها .

هيدروليكي المائع الجوفية هو العلم الذي يدرس حركة النفط والماء والغاز و Mizigha في الصخور المسامية والمتشققة والمشكلة للطبقات المتتحة . وعما أن هيدروليكي المائع الجوفي يدرس الحركة الميكانيكية للسوائل والغازات ، لذلك يمكن اعتباره جزءاً من الميكانيك ، حيث يجوز تسميته ميكانيك السوائل والغازات الجوفية .

يتافق إعطاء النفط والغاز من قبل الطبقة مع حدوث ظواهر كيميافيزائية تظهر ضمن الطبقة نفسها ، حيث تتم حركة السوائل ضمن قنوات مسامية ضيقة (مسامات أو شقوق) ، لذلك تظهر بعض الظواهر السطحية ، ناتجة عن التأثير المتبادل بين جزيئات السائل والجزء الصلب من الصخر الواقع على تماس مع السائل . لا يدخل هيدروليكي المائع الجوفي بدراسة مسائل استثمار المكامن النفطية والغازية فقط ، بل يهتم ببعض المسائل الأخرى .

لا يمكن أن يتم التخطيط لاستثمار مكامن نفطية وغازية جديدة في الوقت الحاضر واستغلال الآبار إلا بالاستخدام الواسع لقوانين هيدروليكي المائع الجوفي ، ويشمل

تھدید مایلی :

- ١) كيفية توزع الآبار على امتداد الطبقة .
 - ٢) عدد الآبار اللازمة وأفضلية إدخالها في الإنتاج .
 - ٣) نظام عمل هذه الآبار .
 - ٤) العامل الواجب حفنه في الطبقة وكميته (ماء أو غاز) ، من أجل الحفاظ على الضغط الطبقي ثابتاً .
 - ٥) كيفية تنظيم وتوجيه السائل والغاز ضمن الطبقة .

تحل هذه المسائل وغيرها من المسائل الأخرى على أساس هيدرولييك الواقع الجوفية ، ويتعلق المردود الصناعي والاقتصادي لاتساح النفط والغاز ، بالحلول الصحيحة لهذه المسائل ، لهذا لابد من معرفة قوانين الجريانات الجوفية في الطبقات الخاملة للنفط والغاز ،

ومن أجمل فهم شخصيات استثمار المكمن النفعية والغازية ، لابد من ذكر أنظمة عمل الطبقة التي تحدد بماهية الطاقة الطبقية وبطبيعة ظهورها أثناء عمليات استثمار المكمن ، وهذه الأنظمة هي : نظام الدفع المائي ، النظام المرن ، نظام الغاز المتحلل ، نظام الدفع الغازي ، نظام الجاذبية ، النظام المحتلط .

قام الباحث الفرنسي دارسي (A. DARSY) في عام ١٨٥٦ م بصياغة القانون التجاري الذي يبين العلاقة الخطية ما بين سرعة الارتشاح وتدرج الضغط ، ثم تلاه عددين من الباحثين الذين قاموا بتطوير هذه النظرية نذكر منهم سليختر (SLEKHTER) ، جوكوفسكي (N. N. PAVLOVSKY) ، بافلوفسكي (N. E. JOKOVSKY) ، وغيرهم . ليزيرون (L. S. LEBENZON) ،

هذا الكتاب مخصص للتعرف على عناصر هيدروليک المواقع الجوفية ، من قبل طلاب السنة الثالثة ، قسم الهندسة البترولية في كلية الهندسة الكيميائية والبترولية ،

حيث ستقوم بالدراسة التفصيلية لقوانين جميع أنواع الجريانات الارشادية التي تحدث في الطبقات النفطية والغازية المختلفة ، آملين إغناء طلابنا بالمعلومات الازمة لتمكينهم في المستقبل من المساعدة في وضع الخطط والتوصيات الحقلية لاستثمار المكامن النفطية على نحوٍ أمثل ، والمبنة على الأسس العلمية الصحيحة .
كذلك نأمل أن يكون لهذا الكتاب فائدة للاختصاصيين العاملين في هذا المجال .

الدكتور المهندس
جورج عبد الأحد

الدكتور المهندس
عماد نوفل

لقد كتب الدكتور المهندس جورج عبد الأحد كلاً من الفصول التالية :
الثاني ، الرابع ، السادس ، الثامن .
وكتب الدكتور المهندس عماد نوفل الفصول التالية :
الأول ، الثالث ، الخامس ، السابع ، التاسع .

الفصل الأول

المفاهيم الأساسية في هيدروليک المواقع الجوفية

١-١- خصائص حركة السوائل في الطبقات الحقيقية :

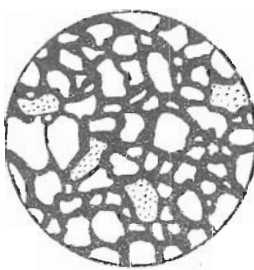
يتعلق وجود تراكمات النفط والغاز داخل الأرض ، بوجود صخور قادرة على التخزين وبخصائص بنوية أخرى للطبقات ، وتسمي الصخور القادرة على تخزين النفط والغاز وإعطائه عند الاستثمار الصخور الخازنة .

تكون السوائل (النفط ، الغاز ، المياه الجوفية) في فراغات يمكن أن تكون مسامات أو شقوقاً في الصخور الرسوبيّة ، ويمكن أن تتم حركة هذه السوائل تحت تأثير عمليات طبيعية (هجرة الفحوم الهيدروجينية) ، أو نتيجة نشاط الإنسان لاستخراج الثروات الطبيعية . وتسمي حركة النفط والغاز ومزيجهما عبر الصخور من خلال المسامات أو الشقوق المتصلة بالارتشاح . وكانت قد تطورت نظرية الارتشاح ، التي تعتبر جزءاً من ميكانيك الأوساط غير الكثيمة مع متطلبات هيدروليک المواقع الجوفية وأهيدرولوجيا دراسة الصخور وإنتاج النفط والغاز والصناعة الكيميائية ... إلخ .
الأساس النظري لاستثمار الطبقات الحاوية على النفط والغاز هو علم هيدروليک المواقع الجوفية ، الذي يدرس ارتشاح النفط والماء والغاز في الصخور المسامية أو المسامية المتشقة .

إن حركة السوائل ضمن الصخور النفوجة خصائص لا تختلف عن طرق دراسة ميكانيك السوائل (حركة السوائل في الأنابيب الأسطوانية) فقط ، بل تختلف عن طرق بحث عمليات أخرى للاરتشاح (مثلاً في الصناعة الكيميائية أو الهندسة الهيدروليکية) .

يعتبر الوسط المسامي للصخور الرسوبيّة نظاماً معقداً من الفراغات المتصلة التي من

الصعب عزل قنوات مسامية محددة فيها (الشكل ١-١) ، وتتراوح مقاييس المسافات في الصخور الرملية غالباً ما بين واحد ميكرومتر حتى عادة عشرات منه ، ويصبح الوسط المسامي أكثر تعقيداً في الصخور الكربوناتية (حجر كلسي ، دولوميت) التي تبدي عدم تجانس كبير في توزع المسامات حيث توجد شقوق وقنوات تشكلت بعد تشكيل الصخر نفسه ، وهذه الصخور تسمى صخوراً مسامية متشفقة بالإضافة إلى وجود مسامات أولية .



شكل (١-١) : مقطع في الحجر الرملي المشبع بالنفط

إن لنظرية ارتشاح النفط والغاز في الطبقات الحقيقة الخصائص التالية :

- ١) عدم امكانية دراسة حركة السوائل في الطبقات بالطرق الهيدروديناميكية العادية المباشرة ، أي عن طريق حل معادلات الحركة للسائل اللزج مع الأخذ بعين الاعتبار كل المسامات .
- ٢) الاختلاف الكبير بين المقاييس المستخدمة في الحسابات ، فمقاييس المسامات (من واحد حتى عشرات الميكرومترات) ، وأقطار الآبار (عشرات المستيمترات) ، المسافة ما بين الآبار (مئات الأمتار) وأبعاد المكامن (عشرات الكيلومترات) ، فعدم تجانس الطبقة يمكن أن يختلف ضمن مجال واسع .
- ٣) محدودية المعلومات حول بناء وخصائص الطبقات والسوائل الطبيعية التي لا تسمع بوضع نموذج موحد للطبقة .

تقدُّم هذه الخصائص إلى صياغة التصورات ووضع طرق هيكلوليك المواقع الجوفية،
الهادفة قبل كل شيء إلى وضع الأسس الرياضية التي تأخذ بعين الاعتبار عدم دقة
المعطيات . لهذا فإن دقة النتائج تعتمد على دقة وضع هذه الأسس ودقة تحليل المعطيات .
لقد ذكرنا أنه هناك اختلافات مابين حركة السوائل والغازات في الطبقة عنها في
الأنباب الأسطوانية وتمثل هذه الاختلافات بما يلي :

- ١) صغر مقاييس القنوات المسامية ، حيث إن قطر القنوات المسامية صغير جداً
ويقاس بأجزاء المليمترات بالمقارنة مع الأنابيب العاديَّة التي تقام بالستيمترات .
- ٢) حركة السوائل ضمن هذه القنوات الحسافية صغيرة جداً ، ففي الأنابيب
الأسطوانية تصل السرعة من عشرات المستيمترات إلى متراً واحداً في الثانية ، بينما
تكون سرعة ارتشاح السوائل والغازات في القنوات المسامية حتى في المناطق
الطبقية القرية من قاع البئر صغيرة جداً ، فمثلاً عند انتاجية بئر من السائل
٢٠٪ / يوم من طبقة ذات سماكة ١٠ م ومسامية ١٠٠ م ، فإن سرعة حرمة
السائل من الطبقة وإلى البئر على مسافة ١٠٠ م منه ستكون ١ ميكرون/ثانية .
- ٣) التأثير الكبير لقوى الاحتكاك نتيجة لكبر لزوجة السوائل الطبقية وكبر مساحة
السطح الداخلي لجدار القنوات المسامية وخشونة السطح الداخلي لهذه
القنوات ، وهذه القوى ستلعب دوراً كبيراً في إعاقة حركة السائل ضمن هذه
القنوات ، ولتبين تأثير مساحة السطح الداخلي للقنوات المسامية على قوى
الاحتكاك ، نعين سطح مجموع الحبيبات الرملية الموجودة في ١ م٣ من الطبقة
الرملية المسمنة مع اعتبار كروية الحبيبات الصخرية ذات الأقطار المتزايدة :

$$N = \frac{V(1-m)}{W} = \frac{1(1-m)}{W} = \frac{3}{4} \frac{1-m}{\pi r^3} \quad (1-1)$$

حيث إن : N - عدد الحبيبات في ١ م٣ من الطبقة .

V - حجم الصخر (الطبقة) يساوي ١ م ٣ .

r - نصف قطر الحبيبة .

m - مسامية الطبقة .

W - حجم الحبيبة .

أما مجموع سطوح الحبيبات S الموجود في ١ م ٣ من الطبقة الرملية فتساوي :

$$S = N \cdot f = \frac{3}{4} \frac{(1 - m)}{\pi r^3} \cdot 4 \pi r^2 = \frac{3(1 - m)}{r} \quad (2-1)$$

حيث إن f - سطح الحبيبة .

نلاحظ أنه إذا كانت مسامية الطبقة ٠,٢٠ = m ونصف قطر الحبيبة

$r = 0,1 \text{ m.m} = 10^{-4} \text{ m}$ فيكون مجموع سطوح الحبيبات متساوياً :

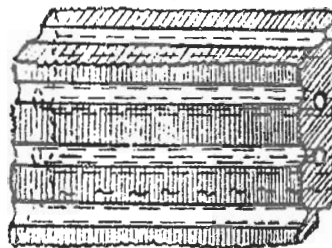
$$S = \frac{3(1 - 0,2)}{10^{-4}} = 2 \cdot 10^4 \text{ m}^2$$

أي أن مجموع سطوح الحبيبات يساوي ٢٤٠٠٠ م ٢ أو أكثر هكتارين ، أما في الطبقات الرملية التي مقاييس حبيباتها صغيرة ، فإن سطح القنوات المسامية في ١ م ٣ من هذه الطبقات سيكون أكبر بعده مرات من السطح السابق . ومن المعروف أن قوى الاحتكاك تتناسب طرداً مع سطح تلامس السوائل الطبقية اللزجة مع الجدران الداخلية للقنوات المسامية وبالتالي فإن قوى الاحتكاك هذه ستكون كبيرة جداً .

١- النماذج البسطة للوسط المسامي - المسامية والمسامية السطحية :

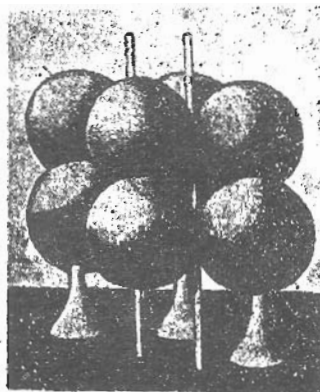
لقد ذكرنا أن للقنوات المسامية شكلاً غير منتظم ومقاييس مختلفة ، لذلك لا يمكن دراسة حركة جزيئات السائل أو الغاز في كافة زمر هذه القنوات ، كذلك من غير الممكن معرفة شكل وقياس كل زمرة من هذه القنوات الموزعة في الوسط المسامي . فمنذ بداية تطور نظرية الارتشاح بحاجة العلماء إلى وضع نماذج بسطة للوسط المسامي الحقيقي فقد افترضوا أن الوسط المسامي غير مشوه . ولakukan حركة السائل النزح في الألياف ذات الشكل الأسطواني كانت قد درست دراسة جيدة ، فقد افترض الباحثون أن كل القنوات المسامية لها شكل أسطواني .

يتمثل نموذج الوسط المسامي الموضع بناء على الافتراض السابق ، في افتراض أن المسامات هي عبارة عن اسطوانات ضيقة موضوعة بشكل متوازٍ ، هنا النموذج دعى الصخر المثالي ، انظر الشكل رقم (٢-١) .

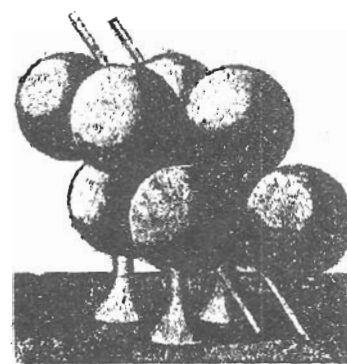


شكل (٢-١) : نموذج للصخر المثالي

أما النموذج الآخر للوسط المسامي الذي افترضه سليختر (SLIKHTER) هو مسامي بالصخر الوهمي ، وهو عبارة عن مجموعة كرات ذات أقطار متساوية ومساوية لأقطار أكبر زمرة من حبيبات الصخر الحقيقي ويتألف من ثمانية كرات تتوضع معاين حالتين : الأولى الأكثر تكتفاً، والثانية الأكثر تحرراً، الشكل (٣-١) يوضح هاتين الحالتين .



(b)

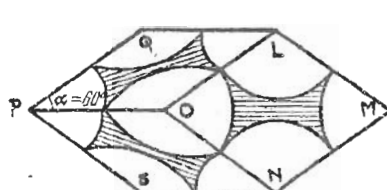


(a)

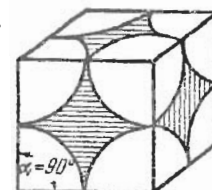
شكل (٣-١) : نماذج للصخر الوهمي

فالتوابع الأكثر تكتفاً (a) يمثل توضع الكرات في رؤوس معين الأووجه بحيث تكون

الزاوية مابين أضلاع معيني الأوجه مساوية $60^\circ = \theta$ ، أما في التوضع الأكثر تحرراً (b) فإن الكرات تتوضع في رؤوس مكعب ، حيث إن الزاوية مابين أضلاع المكعب مساوية $90^\circ = \theta$. واحتمال توضع هذه الكرات سوف يكون مابين هاتين الزاويتين $90^\circ \leq \theta \leq 60^\circ$. والنموذج الأساسي للصخر الوهمي موضح في الشكل (٤-١)، بينما يوضح الشكل (٥-١) وجه معيني الأوجه عند التوضع الأكثر تحرراً (a) والأكثر تكتفاً (b) .

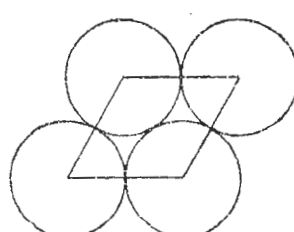


(b)

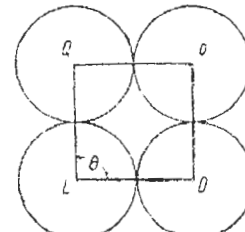


(a)

شكل (٤-١) : النماذج الأساسية للصخر الوهمي



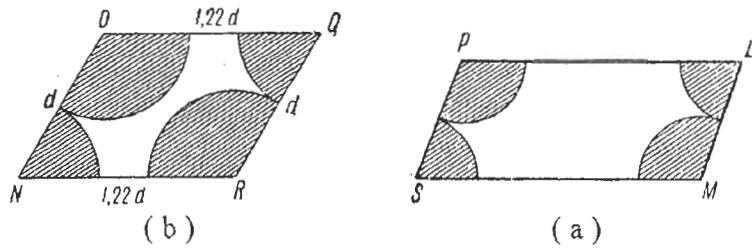
(b)



(a)

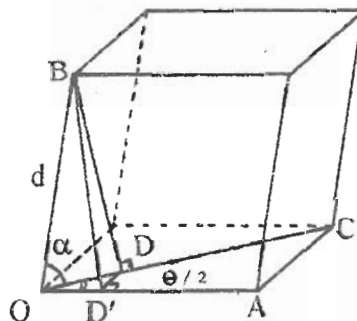
شكل (٥-١) : وجه معيني الأوجه عند التوضع الأكثر تحرراً (a) والأكثر تكتفاً (b)

أما في الشكل (٦-١) فيمثل المقطعين القطري NOQR S P LM والعمودي للنموذج الأساسي للصخر الوهمي الموضح بالشكل (٤-١) ، فالأجزاء المهشة تمثل الحبيبات الصخرية ، أما غير المهشة فتمثل الفراغات المسامية .



شكل (٦-١) : المقطعين القطري (a) والعمودي (b) لمعيني الأوجه الأساسية

من أجل دراسة تأثير كيفية توضع الحبيبات الصخرية الممثلة بالزاوية (θ) على المسامية ، ولإثبات عدم تأثير مقاييس الحبيبات (٢) على هذه المسامية ، سنقوم بدراسة هندسية كمعيني الأوجه الموضح بالشكل (٧-١) الذي طول ضلعه d ، حيث نرسم من O القطر الكبير لقاعدته OC ، ثم ننزل من B عموداً h عليه فيقطعه في D ، وننزل من D عموداً على الضلع OA فيقطعه في D' .



شكل (٧-١) : الرسم الهندسي لمعيني الأوجه

من المعروف أن المسامية تحسب بالعلاقة

$$m = \frac{V_p}{V} = \frac{V - V_1}{V} = 1 - \frac{V_1}{V} \quad (3-1)$$

حيث إن V_1 - حجم مجموع الأجزاء الصلبة والذي يمثل حجم كرة :

$$V_1 = \frac{\pi d^3}{4} \quad (4-1)$$

d - قطر الكرة المساوي لطول ضلع معين الأوجه .
 V - حجم معين الأوجه المساوي لجداً مساحة القاعدة في الارتفاع :

$$V = d^2 \sin\theta \times h \quad (5-1)$$

من المثلث OBD نجد أن :
 $h = d \sin\alpha$

حيث إن :
 α - الزاوية المحسورة بين الضلع OB والقطر OC .
 نعرض القيم في العلاقة (5-1) :

$$V = d^3 \sin\theta \sin\alpha \quad (6-1)$$

لحساب قيمة $\sin\alpha$ ، حيث إن :

$$\sin\alpha = \sqrt{1 - \cos^2\alpha} \quad (7-1)$$

من المثلث OBD نجد أن :
 $\cos\alpha = \frac{OD}{d}$

ومن المثلث ODD نجد أن :

$$OD = \frac{OD'}{\cos \frac{\theta}{2}} = \frac{d \cos \theta}{\cos \frac{\theta}{2}} \Rightarrow$$

$$\cos\alpha = \frac{d \cos \theta}{d \cos \frac{\theta}{2}} = \frac{\cos \theta}{\cos \frac{\theta}{2}}$$

نعرض في (7-1) فنجد :

$$\sin\alpha = \sqrt{1 - \frac{\cos^2 \theta}{\cos^2 \frac{\theta}{2}}}$$

نعرض هذه المعادلة في المعادلة (6-1) :

$$V_1 = \frac{\pi d^3}{4} \quad (4-1)$$

d - قطر الكرة المساوي لطول ضلع معين الأوجه .

V - حجم معين الأوجه المساوي لجداً مساحة القاعدة في الارتفاع :

$$V = d^2 \sin\theta \times h \quad (5-1)$$

من المثلث OBD نجد أن :

$$h = d \sin\alpha$$

حيث إن :

α - الزاوية المحسورة بين الضلع OB والقطر OC .

نعرض القيم في العلاقة (5-1) :

$$V = d^3 \sin\theta \sin\alpha \quad (6-1)$$

لحساب قيمة α ، حيث إن :

$$\sin \alpha = \sqrt{1 - \cos^2 \alpha} \quad (7-1)$$

من المثلث OBD نجد أن :

$$\cos \alpha = \frac{OD}{d}$$

ومن المثلث ODD' نجد أن :

$$OD = \frac{OD'}{\cos \frac{\theta}{2}} = \frac{d \cos \theta}{\cos \frac{\theta}{2}} \Rightarrow$$

$$\cos \alpha = \frac{d \cos \theta}{d \cos \frac{\theta}{2}} = \frac{\cos \theta}{\cos \frac{\theta}{2}}$$

نعرض في (7-1) فنجد :

$$\sin \alpha = \sqrt{1 - \frac{\cos^2 \theta}{\cos^2 \frac{\theta}{2}}}$$

نعرض هذه المعادلة في المعادلة (6-1) :

$$V_1 = \frac{\pi d^3}{4} \quad (4-1)$$

- d - قطر الكرة المساوي لطول ضلع معين الأوجه .
- V - حجم معين الأوجه المساوي لجداء مساحة القاعدة في الارتفاع :

$$V = d^2 \sin\theta \times h \quad (5-1)$$

من المثلث OBD نجد أن :

$$h = d \sin\alpha$$

حيث إن :

α - الزاوية المخصوصة بين الضلع OB والقطر OC .

نعرض القيم في العلاقة (5-1) :

$$V = d^3 \sin\theta \sin\alpha \quad (6-1)$$

لتحسب قيمة $\sin\alpha$ ، حيث إن :

$$\sin\alpha = \sqrt{1 - \cos^2\alpha} \quad (7-1)$$

من المثلث OBD نجد أن :

$$\cos\alpha = \frac{OD}{d}$$

ومن المثلث' ODD نجد أن :

$$OD = \frac{OD'}{\cos \frac{\theta}{2}} = \frac{d \cos \theta}{\cos \frac{\theta}{2}} \Rightarrow$$

$$\cos\alpha = \frac{d \cos \theta}{d \cos \frac{\theta}{2}} = \frac{\cos \theta}{\cos \frac{\theta}{2}}$$

نعرض في (7-1) فنجد :

$$\sin\alpha = \sqrt{1 - \frac{\cos^2 \theta}{\cos^2 \frac{\theta}{2}}}$$

نعرض هذه المعادلة في المعادلة (6-1) :

$$V = d^3 \sin \theta \sqrt{1 - \frac{\cos^2 \theta}{\cos^2 \frac{\theta}{2}}}$$

ومنه :

$$m = 1 - \frac{\frac{\pi d^3}{6}}{d^3 \sin \theta \sqrt{1 - \frac{\cos^2 \theta}{\cos^2 \frac{\theta}{2}}}}$$

أي أن :

$$m = 1 - \frac{\frac{\pi}{6 \sin \theta}}{\sqrt{1 - \frac{\cos^2 \theta}{\cos^2 \frac{\theta}{2}}}}$$

وباستخدام المعادلات المثلثية نحصل على :

$$m = 1 - \frac{\pi}{6(1 - \cos \theta) \sqrt{1 + 2 \cos \theta}} \quad (8-1)$$

من الواضح أن θ تعبر عن كيفية توضع كرات الصخر الوهبي التي تتغير من 60° إلى $90^\circ = \theta$ ، وبتطبيق العلاقة الأخيرة من أجل هاتين الزاويتين الدحديتين نجد أن :

$$\theta = 60^\circ \quad \text{عندما} \quad m = 0, 259$$

$$\theta = 90^\circ \quad \text{عندما} \quad m = 0, 476$$

وهكذا فإن قيمة المسامية ستتراوح بين القيمتين :

$$0, 259 \leq m \leq 0, 476$$

أما مسامية الصخور الحقيقة فتتغير ضمن مجال أوسع بكثير مما ذكر أعلاه ، ويعلل هذا بسبب اختلاف مقاييس حبيبات الوسط المسامي ، ووجود مواد اسمانية مختلفة في القنوات المسامية .
لستقل الآن إلى دراسة المسامية السطحية ، التي يعبر عنها بنسبة سطح المر إلى سطح المعين .

$$n = \frac{S}{S_1} = 1 - \frac{S_2}{S_1} \quad (9-1)$$

حيث إن S - سطح المر المتشكل من الفراغات الموجودة بين الحبيبات الكروية

(انظر الشكل ١-٤) .

S_1 - سطح المعين .

S_2 - مجموع سطوح الأجزاء الأربع من الدوائر الواقعة في المعين :

$$S_1 = d^2 \sin\theta, S_2 = \frac{\pi d^2}{4}$$

نعرض في المعادلة (٩-١) فنجد :

$$n = 1 - \frac{\frac{\pi d^2}{4}}{d^2 \sin\theta}$$

ومنه :

$$\therefore m = 1 - \frac{\pi}{4 \sin\theta} \quad (10-1)$$

نلاحظ من هذه المعادلة أن المسامية السطحية كذلك لا تتعلق بأقطار الحبيبات الكروية التي تكون الوسط المسامي ، وإنما بكيفية توضعها الممثلة بالزاوية (θ)، فيمكن الحصول على القيم الحدية للمسامية السطحية بتعويض قيم $\theta = 60^\circ$ ، $\theta = 90^\circ$:

$$\theta = 60^\circ \quad \text{عندما} \quad n = 0,0931$$

$$\theta = 90^\circ \quad \text{عندما} \quad n = 0,2146$$

أي أن :

$$0,0931 \leq n \leq 0,2146$$

هناك نوعان من المسامية في الطبقات الحقيقة أو النماذج ، الأولى تسمى المسامية بشكل عام أو المسامية المطلقة ، والثانية هي المسامية الفعالة . ففي المعادلة (٣-١) وعندما يعبر V_p عن حجم كل مسامات عينة الوسط المسامي ، فإن المسامية تعبر عن المسامية المطلقة ، أما المسامية الفعالة فستكون عندما يكون V_p في العلاقة (٣-١) معبراً عن حجم المسامات المتصلة الحاوية على نقط .

من أجل إجراء الحسابات العملية يجب معرفة المسامية السطحية الوسطية لحجم من الوسط المسامي . وهذا الهدف لنفرض أنه لدينا نموذج لوسط مسامي ذو شكل

اسطوانى (هذا النموذج كان قد استخرج من بير - يدعى عينة اسطوانية) .
ستكون مساحة المسامات على طول الاسطوانة ، وعلى بعد Z عن بدايتها ،
تابعة لهذه الإحداثيات (Z) اي أن $F_i(Z)$ كما في الشكل (٨-١) ، أما طول
العينة فهو (L) ، وبالتالي يمكن حساب المسامية السطحية عند ارتفاع (Z) كالتالي :

$$n(Z) = \frac{F_i(Z)}{F} \Rightarrow F_i(Z) = F \cdot n(Z) \quad (١١-١)$$

حيث إن : F - مساحة مقطع الاسطوانة .

عندئذ ستحسب القيمة الوسطية للمسامية السطحية \bar{n} بالعلاقة التالية :

$$\bar{n} = \frac{1}{L} \int_0^L n(Z) dZ \quad (١٢-١)$$

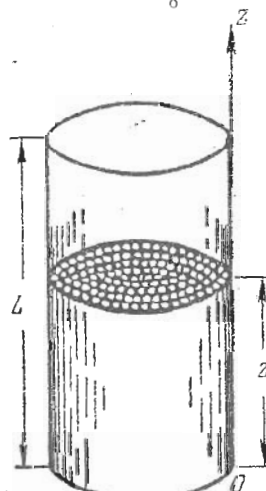
ولكن حجم الاسطوانة المذكورة سيكون مساوياً $V = L \cdot F$ وبالتالي فإن حجم
كل المسامات في هذه العينة :

$$V_p = \int_0^L F_i(Z) dZ \quad (١٣-١)$$

وبالتالي سنحصل على المعادلة التالية : $\text{نختر لعمارة المزاج بـ} - Z$

$$\bar{n} = \frac{1}{L \cdot F} \int_0^L n(Z) \cdot F \cdot dZ$$

$$\bar{n}(Z) \cdot F = f_i(Z)$$



شكل (٨-١) : عينة للوسط المسامي

$$\bar{n} = \frac{1}{V_p} \int_0^{V_p} F_i(Z) dZ = \frac{V_p}{V} = m \quad (14-1)$$

من العلاقة (١٤-١) نجد أن المسامية السطحية الوسطية \bar{n} تساوي المسامية المطلقة m .

أما القيمة الوسطية لسطح المرات فتحسب من العلاقة التالية :

$$\bar{S} = \bar{n} \cdot F = m \cdot F \quad (15-1)$$

فلدي حل بعض المشاكل العملية المتعلقة بارتشاح السوائل في الطبقة ، يهمنا تعين القيمة الوسطية لسطح المرات ، ومن العلاقة (١٣-١) تبين لنا أن هذه القيمة تساوي حاصل ضرب سطح مقطع الطبقة والمسامية m .

٣-٣- الإنقال من الصخر الوهمي إلى الصخر الحقيقي - القطر الفعال

يمكن استخدام معادلات الصخر الوهمي من أجل دراسة الحركة الارتشاحية في الصخور الحقيقية شريطة اختيار نفس أقطار الحبيبات الكروية المحوودة في الصخر الوهمي . فأقطار الحبيبات يجب أن تحقق الشرط التالي : تساوي المقاومة الميدروليكيّة أثناء ارتشاح السوائل في الصخر الحقيقي والوهمي .

يسمي قطر حبيبات الصخر الوهمي الذي يتحقق الشرط السابق بالقطر الفعال ويرمز له بالرمز E_d . فيجب تحديد القطر الفعال هذا من أجل الإنقال من الصخر الوهمي إلى الصخر الحقيقي .

يمكن إيجاد القطر الفعال باستخدام التحليل الميكانيكي للصخر والذي يحدد به التركيب الحبيبي الذي يمثل نسب كل زمرة من أقطار الحبيبات الصخرية ، عن طريق استخدام مناخل ذات فتحات بأقطار مختلفة ، حيث يقوم كل منخل بفصل الحبيبات الصخرية ذات الأقطار الأكبر من قطر فتحاته ، ثم توزن كل زمرة ، وتحسب النسبة المئوية لكل منها . نقوم بعد ذلك برسم منحنٍ ، حيث يوضع على محور العينات النسبة المئوية لأوزان كل الزمر ، والتي تبدأ أقطارها من الصفر وحتى القطر المحدد .